

This airborne geophysical survey and the production of this map were funded by the Saskatchewan Ministry of Energy and Resources and the GEM-Energy Program of the Earth Sciences Sector, Natural Resources Canada.

Ce survol géophysique aéroporté et la production de cette carte ont été financés par le ministère de l'Énergie et des Ressources de la Saskatchewan et le programme GEM-Energie du Secteur des sciences de la Terre, Ressources naturelles Canada.

#### GSC OPEN FILE 6808 / DOSSIER PUBLIC 6808 DE LA CGC SMER OPEN FILE 2011-43

#### GEOPHYSICAL SERIES / SÉRIE DES CARTES GÉOPHYSIQUES

AIRBORNE GEOPHYSICAL SURVEY OF THE NORTHWESTERN ATHABASCA BASIN, SASKATCHEWAN  
LEVÉ GÉOPHYSIQUE AÉROPORTÉ DE LA PARTIE NORD-OUEST DU BASSIN ATHABASCA, SASKATCHEWAN

NTS 74 P/05 Clut Lakes / SNRC 74 P/05 Clut Lakes

#### THORIUM / POTASSIUM

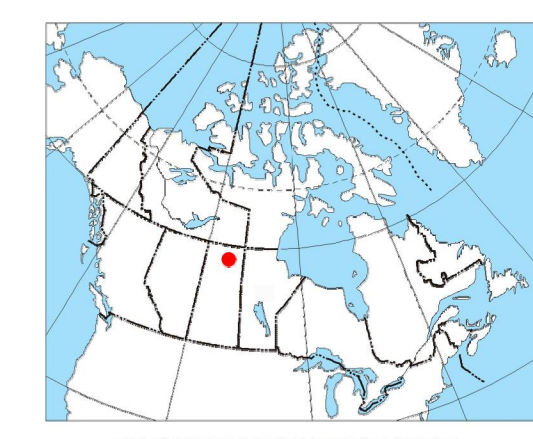
Authors: Fortin, R., Coyle, M., Buckle, J.,  
Hefford, S.W. and Delaney, G.

Data acquisition, compilation and map production by Goldak Airborne Surveys, Saskatoon, Saskatchewan. Contract and project management by the Geological Survey of Canada, Ottawa, Ontario.

Scale 1:50 000 - Échelle 1/50 000

mètres 1000 0 1000 2000 3000 mètres

NAD83 / UTM zone 13N



Auteurs : Fortin, R., Coyle, M., Buckle, J.,  
Hefford, S.W. et Delaney, G.

L'acquisition, la compilation des données ainsi que la production des cartes furent effectuées par Goldak Airborne Surveys, Saskatoon, Saskatchewan. La gestion et la supervision du projet furent effectuées par la Commission géologique du Canada, Ottawa, Ontario.

Universal Transverse Mercator Projection  
NAD83 / UTM zone 13N

Projection transversale universelle de Mercator  
Système de coordonnées NAD83 / Zone 13N  
© 2011 Majesté la Reine du chef du Canada 2011

Digital topographic data provided by Geomatics Canada, Natural Resources Canada  
Données topographiques numériques de Geomatics Canada, Ressources naturelles Canada

#### NORTHWESTERN ATHABASCA BASIN GEOPHYSICAL SURVEY, SASKATCHEWAN

##### Introduction

A quantitative gamma-ray spectrometric and aeromagnetic airborne geophysical survey of the Northwestern Athabasca Basin, Saskatchewan, was completed by Goldak Airborne Surveys. The survey was flown from June 24 to September 2010 using two Piper PA-31 Navajo aircraft (C-GJBA, C-GJB) and one Cessna Caravan (C-GLDX). The nominal traverse and control line spacings were, respectively, 400 m and 2400 m, and the aircraft flew at a nominal terrain clearance of 125 m at airspeeds of 200 km/h and 270 km/h. Traverse lines were oriented 135° with orthogonal control lines. The flight path was recovered following post-flight differential corrections to raw data recorded by a Global Positioning System.

##### Gamma-ray Spectrometric Data

The airborne gamma-ray measurements were made with a Radiation Solutions RS-500 gamma-ray spectrometer using fourteen 102x102x406 mm NaI (Tl) crystals. The main detector array consisted of twelve crystals (total volume 50.4 litres), shielded by the main array, were used to detect variations in background radiation induced by atmospheric radon. The system constantly monitored the natural thorium peak for each crystal, and using a Gaussian least squares algorithm, adjusted the gain for each crystal.

Potassium is measured directly from the 1460 keV gamma-ray photons emitted by K<sup>40</sup>, whereas uranium and thorium are measured indirectly from gamma-ray photons emitted by their daughters (U<sup>238</sup> for uranium and Th<sup>232</sup> for thorium); these daughters are assumed to be in equilibrium with their parents; thus gamma-ray spectrometric measurements of uranium and thorium are referred to as equivalent uranium and equivalent thorium, i.e. eU and eTh. The energy windows used for the three elements were 1020-1040 keV, 1330-1350 keV and 1530-1550 keV, respectively.

Gamma-ray spectra were recorded at one-second intervals. Data processing followed standard procedures as described in IAEA, 1991 and IAEA, 2003. During processing, the spectra were energy calibrated, and counts were accumulated into the windows described above. Counts from the radon detectors were recorded in a 1950 - 1980 keV window and radiation at energies greater than 3000 keV was recorded in the cosmic window. The window counts were corrected for dead time, background activity from cosmic radiation, radon decay, and the energy calibration. The radon counts were converted to equivalent thorium and uranium counts in the ground, air and detectors. Corrections for deviations from the planned line clearances and for variations of temperature and pressure were made prior to conversion to ground level. The potassium, uranium and thorium factors determined from flights over the Danielson, Saskatchewan calibration range. The factors for potassium, uranium, and thorium are listed in Table 1.

	C-GJBA	C-GJB	C-GLDX
Potassium (cpm%)	9.71	9.20	9.20
Uranium (cpm/cpm)	10.48	10.68	10.30
Thorium (cpm/cpm)	6.61	6.45	6.57

Table 1. Gamma Ray Spectrometer Sensitivities for each aircraft

Corrected data were filtered and interpolated to a 100 m grid interval. The results of an airborne gamma-ray spectrometer survey represent the average surface concentrations that are influenced by varying amounts of outcrop, overburden, vegetation cover, soil moisture and surface water. As a result the measured concentrations are usually lower than the actual bedrock concentrations. The total air dose was measured in nanograys per hour was produced from measured counts between 400 and 2810 keV.

##### Magnetic Data

The magnetic field was sampled 10 times per second using a fluxgate magnetometer (frequency = 1.000-1.1 Hz) mounted to the aircraft. Differences in magnetic values at the intersections of control and traverse lines were computer-analyzed to obtain a mutually leveled set of flight-line magnetic data. These leveled values were then interpolated to a 100 m grid. The International Geomagnetic Reference Field (IGRF) defined at the average GPS altitude of 510 m for the year 2010 was then removed. Removal of the IGRF, representing the magnetic field of the Earth's crust.

The first vertical derivative of the magnetic field is the rate of change of the magnetic field in the vertical direction. Computation of the first vertical derivative removes long wavelength features of the magnetic field and significantly improves the resolution of closely spaced and superimposed anomalies. A property of first vertical derivative maps is the coincidence of the zero-value contour with vertical contacts or magnetic units at high magnetic latitudes (Hood, 1965).

#### LEVÉ GÉOPHYSIQUE DE LA PARTIE NORD-OUEST DU BASSIN ATHABASCA, SASKATCHEWAN

##### Introduction

Un levé géophysique aéroporté combinant l'enregistrement de données de spectrométrie gamma et de données magnétiques a été réalisé dans la partie nord-ouest du bassin de l'Athabasca en Saskatchewan par les sociétés Goldak Airborne Surveys. Le levé a été effectué du 24 juin au 21 septembre 2010, à bord de deux avions Piper PA-31 Navajo (C-GJBA, C-GJB) et d'un Cessna Caravan (C-GLDX). L'espacement nominal des lignes de vol était de 400 m et celui des lignes de contrôle de 2400 m. L'altitude nominale du levé était de 125 m au dessus du sol et la vitesse était incluse entre 200 km/h et 270 km/h. Les lignes de vol étaient orientées à 135° et les lignes de contrôle étaient perpendiculaires. La trajectoire de vol a été réalisée par application après le vol de corrections différentes aux données brutes enregistrées avec un récepteur GPS.

##### Données de spectrométrie gamma

Les données de spectrométrie gamma ont été enregistrées à l'aide d'un spectromètre gamma Radiation Solutions RS-500 utilisant quatorze cristaux de NaI (Tl) de 102x102x406 mm. Le récepteur principal est composé de douze cristaux (volume total de 50.4 litres), protégé par le récepteur principal, ont été utilisés pour déclencher les variations du rayonnement naturel causées par le radon atmosphérique. Ce dispositif permet de faire un suivi constant des pics du thorium pour chacun des cristaux et, au moyen d'un algorithme d ajustement gaussien, la méthode des moindres carrés, de compenser le gain pour chacun des cristaux.

Le potassium est mesuré directement d'après les photons de 1460 keV émis par le K<sup>40</sup>, tandis que l'uranium et le thorium sont mesurés indirectement d'après les photons gamma émis par des produits de filation (U<sup>238</sup> pour l'uranium et Th<sup>232</sup> pour le thorium). Bien que ces radionucléides de thorium se trouvent loin dans leur chaîne respective de désintégration, on peut néanmoins déterminer leur présence et leur variation dans l'atmosphère par l'intermédiaire de leurs produits de désintégration du radon atmosphérique. Le dispositif permet de faire un suivi constant des pics du thorium pour chacun des cristaux et, au moyen d'un algorithme d ajustement gaussien, la méthode des moindres carrés, de compenser le gain pour chacun des cristaux.

Les spectres du rayonnement gamma ont été enregistrés à intervalle d'une seconde. Le traitement des données suivit les procédures standard décrites dans IAEA, 1991 et IAEA, 2003. Pendant le traitement, les spectres ont été soumis à un étalonnage énergétique et les coups ont été corrigés dans les plages décrites ci-dessous. Les coups obtenus à l'aide des capteurs de radon ont été enregistrés dans la plage de 1020-1040 keV et le rayonnement à des énergies supérieures à 3000 keV a été enregistré dans la plage du rayonnement cosmique. Les coups ont été corrigés pour l'effet de la température et de la pression et pour les variations de la densité de l'air et de la pression. Les corrections pour l'effet de la température et de la pression ont été effectuées en fonction des données de température et de pression enregistrées au sol ou de potentiels. L'uracide et le thoracide ont été utilisés en utilisant des facteurs déterminés lors de vols effectués au dessus de la bande d'homéostase de Danielson, Saskatchewan. Les facteurs pour le potassium, l'uranium et le thorium sont présentés au tableau 1. Pour la mise en carte, un filtre a été appliquée aux données corrigées, qui ont ensuite été interpolées suivant une grille à maille de 100 m.

	C-GJBA	C-GJB	C-GLDX
Potassium (cpm%)	9.71	9.20	9.20
Uranium (cpm/cpm)	10.48	10.68	10.30
Thorium (cpm/cpm)	6.61	6.45	6.57

Tableau 1. Sensibilités des spectromètres de chacun des avions.

Les résultats d'aéromagnétisme sont également utilisés pour déterminer les concentrations moyennes à la surface. Celles-ci sont influencées par les altitudes variables des affleurements, des mésas, de la couverture végétale et de l'eau de surface. Par conséquent, les concentrations mesurées sont habituellement plus faibles que les concentrations réelles dans le substratum rocheux.

##### Données sur le champ magnétique

Le champ magnétique a été échantillonné 10 fois par seconde à l'aide d'un magnétomètre à vapeur de carbone (sensibilité = 0.0001 nT) rigide fixé à l'avant. Les différences de valeur du champ magnétique entre les intersections des lignes de vol ont été analysées afin d'obtenir un ensemble de données sur le champ magnétique mutuellement nivelées sur les lignes de vol. Ces valeurs nivelées ont ensuite été interpolées suivant une grille à maille de 100 m. Le champ géomagnétique international (IGRF) a été soustrait à la mesure de base pour prévoir une variation de la variation de la densité de l'air et de la pression. Les corrections pour l'effet de la température et de la pression ont été effectuées en fonction des données de température et de pression enregistrées au sol ou de potentiels. L'uracide et le thoracide ont été utilisés en utilisant des facteurs déterminés lors de vols effectués au dessus de la bande d'homéostase de Danielson, Saskatchewan. Les facteurs pour le potassium, l'uranium et le thorium sont présentés au tableau 1. Pour la mise en carte, un filtre a été appliquée aux données corrigées, qui ont ensuite été interpolées suivant une grille à maille de 100 m.

Le champ magnétique a été échantillonné 10 fois par seconde à l'aide d'un magnétomètre à vapeur de carbone (sensibilité = 0.0001 nT) rigide fixé à l'avant. Les différences de valeur du champ magnétique aux intersections des lignes de vol ont ensuite été interpolées suivant une grille à maille de 100 m. Le champ géomagnétique international (IGRF) a été soustrait à la mesure de base pour prévoir une variation de la densité de l'air et de la pression. Les corrections pour l'effet de la température et de la pression ont été effectuées en fonction des données de température et de pression enregistrées au sol ou de potentiels. L'uracide et le thoracide ont été utilisés en utilisant des facteurs déterminés lors de vols effectués au dessus de la bande d'homéostase de Danielson, Saskatchewan. Les facteurs pour le potassium, l'uranium et le thorium sont présentés au tableau 1. Pour la mise en carte, un filtre a été appliquée aux données corrigées, qui ont ensuite été interpolées suivant une grille à maille de 100 m.

##### References / Références

- Hood, P.J. 1965. Gradient measurements in aeromagnetic surveying, Geophysics, v.30, p.891-902.
- International Atomic Energy Agency, 1991. Airborne gamma ray spectrometer surveying, Technical Reports Series 323, IAEA, Vienna.
- International Atomic Energy Agency, 2003. Guide lines for radiocesium mapping using gamma ray spectrometry data, Technical Reports Series 1363, IAEA, Vienna.

#### PLANIMETRIC SYMBOLS

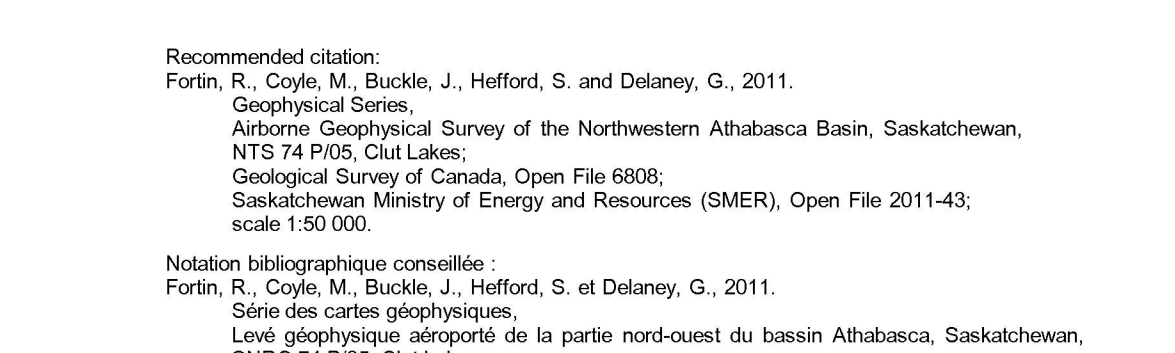
#### SYMBOLS PLANIMÉTRIQUES

Drainage		Drainage
Highway		Autoroute
Flight line		Ligne de vol

#### NATIONAL TOPOGRAPHIC SYSTEM REFERENCE AND GEOPHYSICAL MAP INDEX SYSTÈME NATIONAL DE RÉFÉRENCE CARTOGRAPHIQUE ET INDEX DES CARTES GÉOPHYSIQUES

MAP SHEET SUMMARY / SOMMAIRE DES FEUILLES	
Sheet	MAP / CARTE
Feuillet	Carte d'échelle nominale des feuillets gamma dans la feuille
1.	Natural Air Absorbed Dose Rate
2.	Potassium
3.	Uranium
4.	Thorium
5.	Uranium / Thorium
6.	Uranium / Potassium
7.	Potassium / Thorium
8.	Terrain Reduction Map
9.	Total Magnetic Field
10.	First Vertical Derivative of the Magnetic Field
	Dév. première verticale du champ magnétique total

OPEN FILE 2011-43	
SASKATCHEWAN MINISTRY OF ENERGY AND RESOURCES	Énergie et ressources ministère du Saskatchewan
2011	2011
FEUILLET 7 DE 10	FEUILLET 7 DE 10



AIRBORNE GEOPHYSICAL SURVEY OF THE NORTHWESTERN ATHABASCA BASIN, SASKATCHEWAN  
LEVÉ GÉOPHYSIQUE AÉROPORTÉ